

مقایسه کارآیی فرآیندهای فتوشیمیایی توأم با پراکسید هیدروژن در حذف رنگرای آبی مستقیم ۷۱ از محیط‌های آبی: مطالعه کیتیکی

رضا رضایی^۱، افшин ملکی^۲، مهدی شیرزاد سیبی^۳، مرضیه رحیمی^۴، مهناز محمدی^۵

۱- مری، مهندسی بهداشت محیط، مرکز تحقیقات بهداشت محیط، دانشگاه علوم پزشکی کردستان، سنندج، ایران

۲- دانشیار، مهندسی بهداشت محیط، مرکز تحقیقات بهداشت محیط، دانشگاه علوم پزشکی کردستان، سنندج، ایران

۳- مری، مهندسی بهداشت محیط، مرکز تحقیقات بهداشت محیط، دانشگاه علوم پزشکی کردستان، سنندج، ایران (مؤلف مسؤول)

تلفن: ۰۸۷۱-۶۶۲۶۹۶۹ mehdi_dshirzad@yahoo.com

۴- کارشناس مهندسی بهداشت محیط، مرکز تحقیقات بهداشت محیط، دانشگاه علوم پزشکی کردستان، سنندج، ایران

چکیده

زمینه و هدف: یکی از عمده‌ترین آلایندهای محیط زیست که در پساب صنایع مختلف از جمله نساجی وجود دارند رنگها می‌باشند که برای انسان و محیط زیست آلودگی ایجاد کرده‌اند. لذا هدف از این تحقیق، بررسی کارآیی فرآیندهای فتوشیمیایی و سونوشهای توأم با پراکسید هیدروژن در حذف رنگرای آبی مستقیم ۷۱ از محیط‌های آبی در سیستم ناپیوسته بود.

روش بررسی: این تحقیق یک نوع مطالعه تجربی- آزمایشگاهی بود، ابتدا طراحی و ساخت راکتور صورت گرفت. سپس pH اپتیم در شرایط ثابت در سیستم مورد مطالعه تعیین گردید که به ترتیب برابر با ۷ و ۳ برای فرآیند فتوشیمیایی و سونوشهای توأم با ثابت نگه داشتن pH اپتیم، تأثیر غلظت اولیه پراکسید هیدروژن، رنگرای آبی مستقیم ۷۱ و زمان تماس، بررسی گردید. آنالیز و تفسیر داده‌ها نیز با استفاده از نرم افزار اکسل و ضریب رگرسیون انجام شد.

یافته‌ها: نتایج مشخص ساخت که کارآیی حذف رنگرای آبی مستقیم ۷۱ با افزایش غلظت اولیه پراکسید هیدروژن آبی مستقیم ۷۱، کاهش یافت. همچنین نتایج نشان داد که با افزایش زمان تماس و مقدار اولیه پراکسید هیدروژن، کارآیی حذف افزایش یافت. دیگر یافته‌ها نشان داد که داده‌های کیتیکی از معادله درجه یک (Langmuir-Hinshelwood) بهتر پیروی می‌کند.

نتیجه‌گیری: بطور کلی نتایج حاصل از آزمایشات نشان داد که می‌توان از فرآیندهای فتوشیمیایی و سونوشهای توأم با پراکسید هیدروژن بعنوان یک روش مؤثر در حذف رنگرای آبی مستقیم ۷۱ از محیط‌های آبی استفاده نمود. همچنین در مقایسه با دو فرآیند ذکر شده، استفاده از فرآیند فتوشیمیایی توأم با پراکسید هیدروژن با توجه به کارایی حذف و همچنین قابل دسترس بودن بعنوان یک روش مؤثر و سریع جهت حذف رنگ‌ها از محیط‌های آبی پیشنهاد می‌گردد.

کلید واژه‌ها: رنگرای آبی مستقیم ۷۱، فرآیند پراکسید هیدروژن / فتوشیمیایی، فرآیند پراکسید هیدروژن / سونوشهای توأم، محیط‌های آبی، سیتیک

وصول مقاله: ۸۹/۹/۱ اصلاحیه نهایی: ۸۹/۱۰/۲۲ پذیرش مقاله: ۸۹/۱۰/۱۵

میزان اکسیژن مورد نیاز بیوشیمیایی (BOD)^۱ آب نیز

افزایش می‌یابد (۱). رنگها همچنین سبب ممانعت از انتقال کامل نور به داخل آب شده و در نتیجه موجب کاهش عمل فتوسنتز و متعاقب آن کاهش

صرف رنگ در صنایع نساجی دنیا بیش از ده هزار تن در سال تخمین زده می‌شود که با این میزان مصرف، سالیانه ۱۰۰۰ تن از رنگ مصرفی وارد پساب این صنایع می‌گردد. با تخلیه ترکیبات رنگی در آبهای پذیرنده

1. Biochemical Oxygen Demand

مشکلاتی همواره محققین را برآن داشته که به دنبال روش‌های جدید در این زمینه باشند. امروزه فرآیندهای اکسیداسیون پیشرفت‌به دلیل کارایی بسیار بالا و همچنین عدم ایجاد آلدگی‌های ثانویه بسیار مورد توجه قرار گرفته و برای حذف انواع مختلفی از آلاینده‌ها از قبیل مواد آلی و رنگها مورد استفاده قرار می‌گیرند (۴). در فرآیند اکسایش پیشرفت‌به با استفاده از تولید رادیکال هیدروکسیل (OH) ترکیباتی که بوسیله اکسید کننده‌های متداول از قبیل ازن و کلر، اکسید نمی‌شوند از بین می‌برد. رادیکال هیدروکسیل در محیط‌های آبی با استفاده از H_2O_2/Fe , UV/TiO_2 , UV/ZnO , UV/H_2O_2 (فتوشیمیایی) و US/H_2O_2 (سونوشیمیایی) تولید می‌شود. از بین این روش‌ها استفاده از فرآیند فتوشیمیایی و سونوشیمیایی می‌تواند بطور همزمان ترکیبات آلی و فلزات سنگین را احیاء و ترکیبات غیر قابل تجزیه بیولوژیکی را به ترکیبات قابل تجزیه بیولوژیکی تبدیل کند (۵-۱۰).

هدف از این تحقیق بررسی کارآبی فرآیندهای فتوشیمیایی و سونوشیمیایی توأم با پراکسید هیدروژن در حذف رنگزای آبی مستقیم ۷۱ از محیط‌های آبی در سیستم ناپیوسته بود. همچنین کیتیک واکنش با استفاده از معادله درجه یک (Langmuir-Hinshelwood) تعیین گردید.

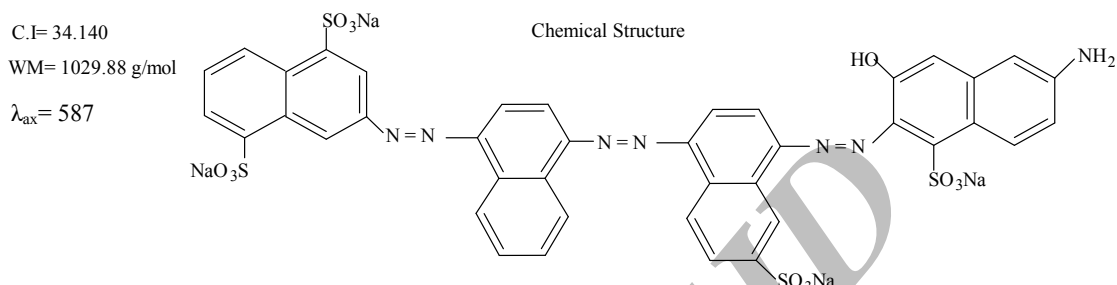
روش بودسی

این مطالعه از نوع تجربی- آزمایشگاهی بود، که در سیستم ناپیوسته در دانشگاه علوم پزشکی کردستان، آزمایشگاه شیمی آب و فاضلاب دانشکده بهداشت انجام گردید. به طور کلی مراحل تحقیق به شرح زیر بوده است.

اکسیژن محلول در آب می‌گردد. علاوه بر آن اکثر رنگ‌های مصرفی صنایع نساجی منشأ آلی داشته و عمدتاً از نمک‌های دی آزو (Diazo)، فتالوسیانین (Anthroquinone) و آنتراکینون (Phthalocyanine) که دارای حلقه بنزن می‌باشند، تشکیل شده‌اند که می‌تواند سمی و سلطانزا باشد (۲). بنابراین حذف رنگ از این گونه پساب‌ها ضرورت خاصی خواهد داشت. با توسعه و گسترش صنایع تولید رنگ‌های نساجی، رنگ‌های جدیدی وارد بازار شده‌اند که خواص رنگرزی بهتری دارند. بهبود کیفیت رنگ‌ها، ناشی از پایداری ساختارهای مواد رنگزای مورد استفاده بوده که سبب مقاوم شدن آنها در برابر تجزیه بیولوژیکی و شیمیایی می‌گردد. اکثر رنگ‌های مورد استفاده صنایع نساجی به دلیل ایجاد کمپلکس‌های قوی، غیر قابل تجزیه بیولوژیکی می‌باشند، رنگزای آبی مستقیم ۷۱ با فرمول شیمیایی ($C_{40}H_{23}Na_4O_{13}S_4$) از گروه تری آزو بوده که شکل آزوی آن گونه غالب در محیط‌های آبی می‌باشد (۳). تحقیقات زیادی بر روی حذف رنگ‌ها، انجام شده و بسیاری از فرآیندهای تصفیه مورد بررسی قرار گرفته است (فرآیند قلیایی کردن، کلرزنی، اکسیداسیون با هوا و فرآیندهای غشایی مانند اسمر معکوس و الکترودیالیز). فرآیندهای تصفیه متداول فاضلاب مانند جذب سطحی، روش مؤثری برای حذف رنگ‌ها محسوب نمی‌گردد. همچنین این روشها معمولاً تولید مقادیر قابل توجهی لجن می‌نمایند که مشکلات زیست محیطی دیگری را بدباند خواهد داشت و در غلظتها کم، کیتیک واکنش کند بوده و میزان غلظت باقیمانده رنگ هنگام تخلیه خیلی بیشتر از حد مجاز خواهد بود. فرآیندهای غشایی نیز اغلب هزینه بر بوده و راهبری آنها نیاز به نیروی متخصص دارد. وجود چنین

مطالعه پراکسید هیدروژن (H_2O_2)٪.۳۰ (Merck) بود. ساختار رنگ با فرمول شیمیایی ($C_{40}H_{23}N_7Na_4O_{13}S_4$) در شکل ۱ نشان داده شده است.

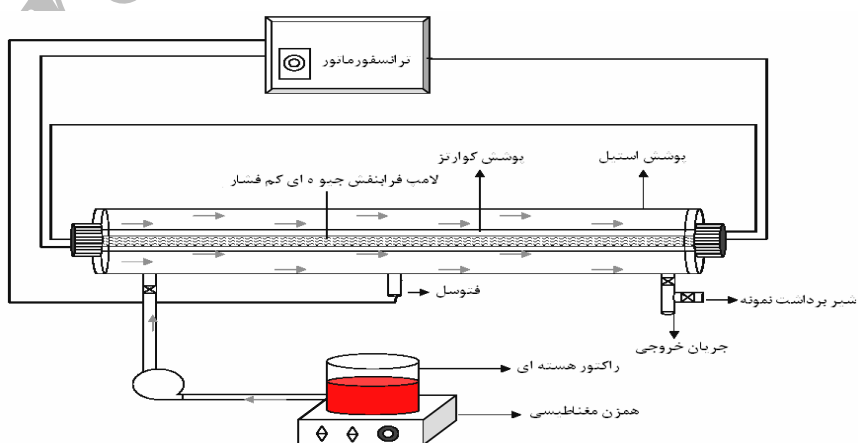
تهیه مواد شیمیایی مورد نیاز رنگزای آبی مستقیم ۷۱ از شرکت الوان ثابت و بقیه مواد شیمیایی مورد نیاز از شرکت (Merck) آلمان تهیه گردید. ماده اکسیدکننده مورد استفاده در این



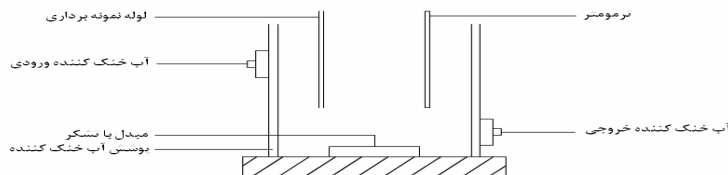
شکل ۱: ساختار رنگزای آبی مستقیم ۷۱ با فرمول شیمیایی ($C_{40}H_{23}N_7Na_4O_{13}S_4$)

منبع تابش یک لامپ فرابنفش جیوهای کم فشار ۵۵ وات (UV-C) ساخت شرکت Philips می‌باشد. شماتیک راکتور US/H_2O_2 در شکل ۲ (الف) نشان داده شده است. منبع تابش امواج فرماصوت یک دستگاه سونوراکتور مجهز شده به یک مبدل صفحه‌ای ۴۲ کیلو هرتز با توان ۱۷۰ وات در مقیاس آزمایشگاهی بود.

طرحی و ساخت راکتور UV/H_2O_2 و US/H_2O_2 در شکل ۲ (الف) نشان داده شده است. همانطور که مشاهده می‌شود راکتور مورد مطالعه از دو قسمت تشکیل شده است. قسمت بیرونی که مجهز به همزن جهت اضافه کردن محلول رنگ و آب اکسیژنه می‌باشد، قسمت درونی برای نگهداشتن لامپ UV با پوشش کوارتز تعییه گردیده است.



(الف)



(ب)

شکل ۲: شماتیک راکتور H_2O_2 / UV / US (الف) و H_2O_2 / UV (ب)

۷۱ به راکتور اضافه گردید و در زمانهای تماس مشخص، ۵ ml از محلول جهت تعیین غلظت باقیمانده رنگ برداشته شد). برای اجتناب از برخورد نور خورشید همه نمونه‌ها با فویل آلومینیوم پوشیده شد. سپس غلظت باقیمانده رنگزای آبی مستقیم ۷۱ توسط دستگاه اسپکتروفوتومتر (UV-VIS 1700 Simadzo, Japan) در طول موج ۵۸۷ نانومتر بر اساس کتاب روشهای استاندارد (۱۱) برای آزمایشات آب و فاضلاب اندازه‌گیری گردید. آنالیز و تفسیر داده‌ها نیز با استفاده از نرم افزار اکسل و ضریب رگرسیون انجام شد. همچنین به علت اینکه غلظت اولیه رنگزای آبی مستقیم ۷۱ در این مطالعه پایین بود کینتیک واکنش با معادله شبه درجه یک (۱۲ و ۱۳) توصیف شد. این معادله به صورت زیر نوشته می‌شود.

$$d[C_0/d_t] = K_{1t}$$

این معادله به صورت زیر، خطی می‌شود.

$$\ln [C_0/C_t] = K_{1t} t$$

K_1 = ثابت سینیتیک (1/min)

T = زمان تشعشع (min)

C_t = غلظت رنگزای آبی مستقیم ۷۱ در زمان t (mg/l)

C_0 = غلظت اولیه رنگزای آبی مستقیم ۷۱ در زمان ۰ (mg/l)

تهیه محلول استوک رنگزای آبی مستقیم ۷۱

محلول مادر رنگزای آبی مستقیم ۷۱ (1000 mg/l) با استفاده از حل کردن 1 g/l رنگزای آبی مستقیم ۷۱ در آب بدون یون تهیه شد. برای جلوگیری از تغییرات غلظت، محلول مادر رنگزای آبی مستقیم ۷۱ در یخچال نگه داری شد. جهت تنظیم pH از اسید کلریدریک و سود یک نرمال استفاده گردید.

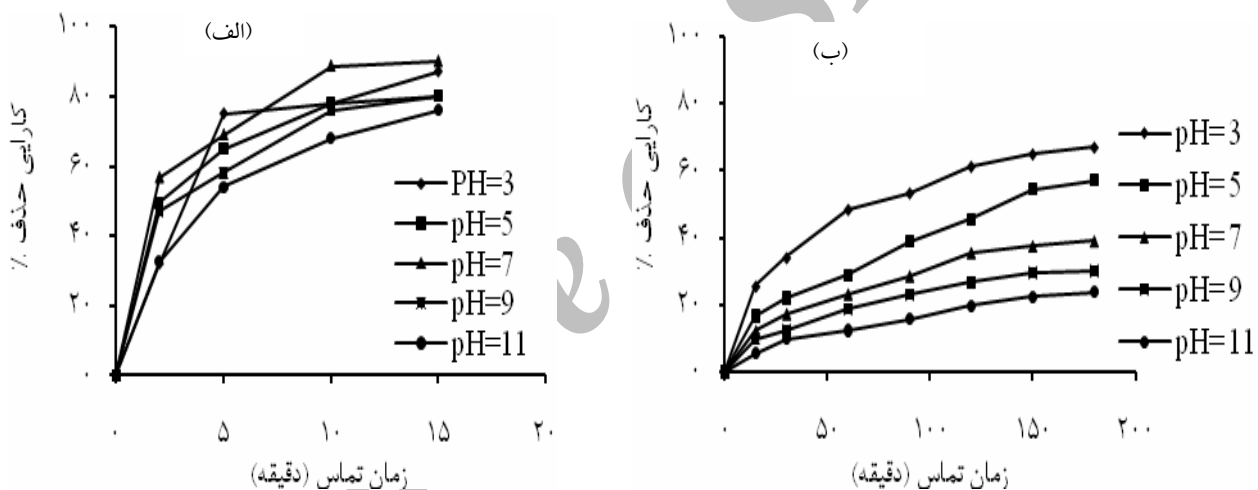
آزمایشات در ستون ناپیوسته

عوامل مورد بررسی در این پژوهش شامل مقدار اولیه H_2O_2 (50, 30, 20, 10, 5) میلی مولار، pH رنگزای آبی مستقیم ۷۱ (10, 20, 30, 50, 70 mg/l)، pH اولیه (3, 5, 7, 9, 11) و زمان تماس ۲-۱۵ و ۱۵-۱۸۰ دقیقه به ترتیب در فرآیند H_2O_2 / UV و $\text{US}/\text{H}_2\text{O}_2$ / UV می‌باشدند. برای آغاز آزمایشات ابتدا pH بهینه در شرایط ثابت برابر با (غلظت رنگزای آبی مستقیم ۷۱ 30 mg/l) تعیین شد. بعد از تعیین pH در محدوده (3, 5, 7, 9, 11) به ترتیب برابر با ۳ برای فرآیند H_2O_2 / UV و ۳ برای $\text{US}/\text{H}_2\text{O}_2$ / UV تعیین شد. بعد از تعیین pH اپتیمم آزمایشات با ثابت نگه داشتن سه متغیر و تغییر دادن یک متغیر انجام گردید. (برای مثال در pH اپتیمم، و غلظت ثابت هیدروژن پروکساید در سیستم مورد مطالعه، غلظت‌های مختلف رنگزای آبی مستقیم

تأثیر pH بر روی کارایی حذف در فرآیند H_2O_2 /UV و (ب) US/ H_2O_2 نشان داده شده است. همانطوری که مشاهده می‌گردد با افزایش pH از ۳ به ۱۱ کارایی حذف در H_2O_2 /UV و US/ H_2O_2 به ترتیب از ۷۶٪/۸۷٪ و از ۶۷٪/۲۷٪ کاهش یافت. در سیستم مورد مطالعه pH اپتیمم به ترتیب برابر با ۷ و ۳ تعیین گردید.

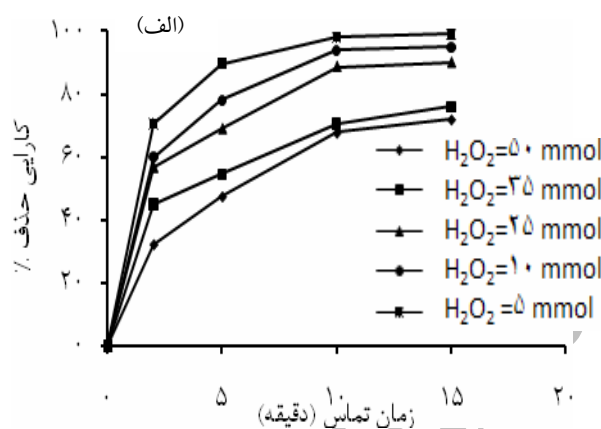
یافته‌ها

تأثیر pH بر روی کارایی حذف رنگزای آبی مستقیم ۷۱ در سیستم مورد مطالعه و تعیین pH اپتیمم
تأثیر pH اولیه محلول بر کارایی حذف رنگزای آبی مستقیم ۷۱ با تغییر pH اولیه محلول (۳، ۵، ۷، ۹، ۱۱) تحت شرایط ثابت غلظت اولیه رنگزای آبی مستقیم ۷۱ و ۳۰ mg/L غلظت هیدروژن پروکساید ۲۵ mmol/L مقدار ثابت منعقد گننده ۱۰۰ mg/L در زمانهای مختلف بررسی شد در نمودار ۱ (الف) و (ب) نتایج حاصل از



نمودار ۱: تأثیر pH اولیه محلول بر کارایی حذف رنگزای آبی مستقیم ۷۱ در فرآیند H_2O_2 /UV (الف) و US/ H_2O_2 (ب) (غلظت اولیه رنگزای آبی مستقیم ۷۱ و ۳۰ mg/L غلظت اولیه هیدروژن پروکساید ۲۵ mmol/L)

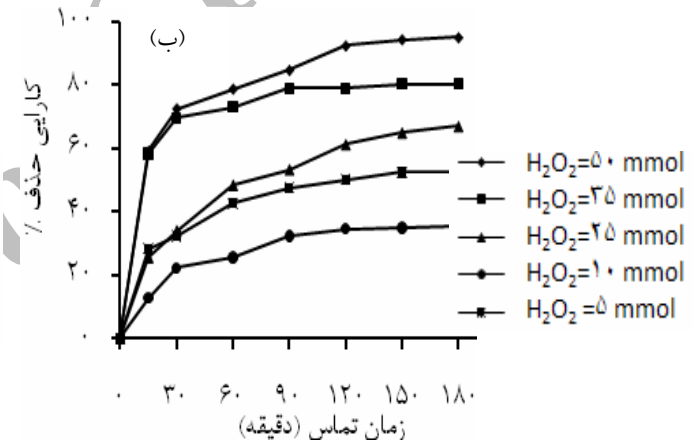
فرآیند $\text{UV}/\text{H}_2\text{O}_2$ و $\text{US}/\text{H}_2\text{O}_2$ (الف) و (ب) بر روی کارایی حذف نشان داده شده است. همانطور که از نمودار پیدا است کارایی حذف با افزایش غلظت اولیه هیدروژن پروکساید در هر دو فرآیند افزایش یافت. به طوری که وقتی غلظت اولیه هیدروژن پروکساید از 5 mmol به 50 mmol افزایش یافت کارایی حذف از $\text{UV}/\text{H}_2\text{O}_2$ به 95% و از $\text{US}/\text{H}_2\text{O}_2$ به 99% ترتیب در فرآیند $\text{UV}/\text{H}_2\text{O}_2$ و $\text{US}/\text{H}_2\text{O}_2$ افزایش یافت.



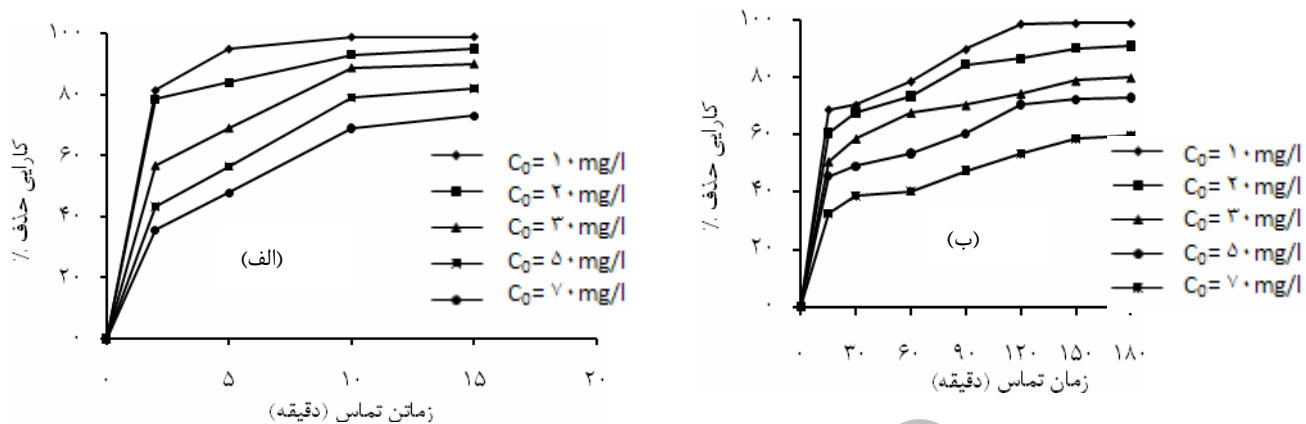
نمودار ۲: تأثیر غلظت اولیه هیدروژن پروکساید بر روی کارایی حذف رنگزای آبی مستقیم ۷۱ در فرآیند $\text{UV}/\text{H}_2\text{O}_2$ (الف) و $\text{US}/\text{H}_2\text{O}_2$ (ب) (غلظت اولیه رنگزای آبی مستقیم ۷۱ برابر با 30 mg/l و 7 pH و 3 min)

نمودار ۲: تأثیر غلظت اولیه H_2O_2 بر روی کارایی حذف $\text{UV}/\text{H}_2\text{O}_2$ و $\text{US}/\text{H}_2\text{O}_2$ (الف) و (ب) بر روی کارایی حذف نشان داده شده است. همانطور که از نمودار پیدا است کارایی حذف با افزایش غلظت اولیه رنگزای آبی مستقیم ۷۱ در هر دو فرآیند کاهش یافت. به طوری که وقتی غلظت اولیه رنگزای آبی مستقیم ۷۱ از 10 mg/l به 50 mg/l افزایش یافت. کارایی حذف از 99% به 99.5% و از 99% به 99.5% ترتیب در فرآیند $\text{UV}/\text{H}_2\text{O}_2$ و $\text{US}/\text{H}_2\text{O}_2$ کاهش یافت.

تأثیر مقدار اولیه H_2O_2 بر روی کارایی حذف رنگزای آبی مستقیم ۷۱ در سیستم مورد مطالعه تأثیر غلظت اولیه هیدروژن پروکساید بر کارایی حذف در سیستم مورد مطالعه با تغییر در غلظت اولیه هیدروژن پروکساید ($5, 10, 25, 30, 50 \text{ mmol}$) در شرایط ثابت غلظت اولیه رنگزای آبی مستقیم ۷۱ و 30 mg/l و 7 pH به ترتیب در فرآیند $\text{UV}/\text{H}_2\text{O}_2$ و $\text{US}/\text{H}_2\text{O}_2$ در زمانهای مختلف بررسی شد. در نمودار ۲ نتایج حاصل از تأثیر غلظت هیدروژن پروکساید در

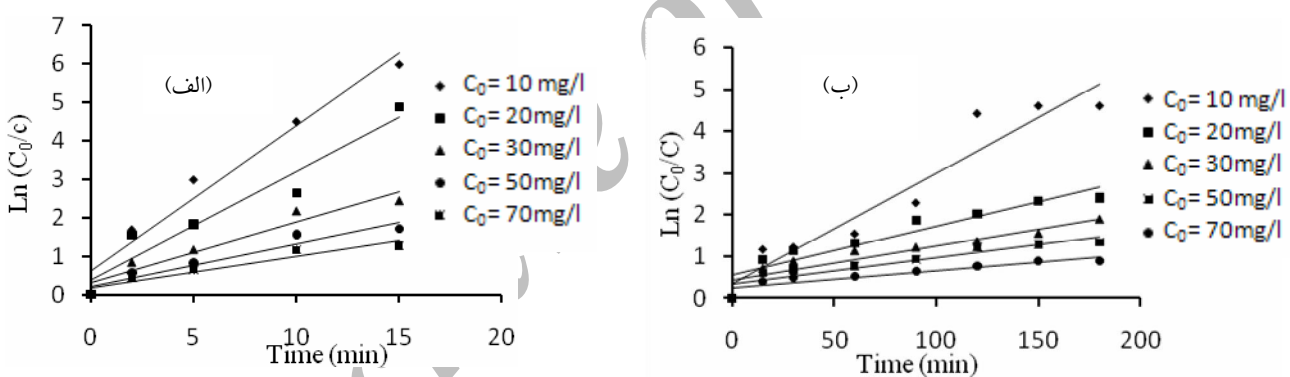


تأثیر غلظت اولیه رنگزای آبی مستقیم ۷۱ بر روی کارایی حذف در سیستم مورد مطالعه تأثیر غلظت اولیه رنگزای آبی مستقیم ۷۱ بر کارایی حذف در سیستم مورد مطالعه با تغییر در غلظت اولیه رنگزای آبی مستقیم ۷۱ ($10, 20, 30, 50, 70 \text{ mg/l}$) در لیتر) در شرایط ثابت غلظت اولیه هیدروژن پروکساید 30 mmol و 7 pH به ترتیب در فرآیند $\text{UV}/\text{H}_2\text{O}_2$ و $\text{US}/\text{H}_2\text{O}_2$ در زمانهای مختلف بررسی شد. در نمودار ۳ نتایج حاصل از تأثیر غلظت اولیه رنگ در فرآیند $\text{UV}/\text{H}_2\text{O}_2$ و $\text{US}/\text{H}_2\text{O}_2$ در سیستم مورد مطالعه تأثیر غلظت اولیه رنگ در فرآیند $\text{UV}/\text{H}_2\text{O}_2$ و $\text{US}/\text{H}_2\text{O}_2$ در سیستم مورد مطالعه



همچنین ضرایب ثابت کینتیکی نیز در جدول ۱ نشان داده شده است.

به طور کلی در نمودار ۴ نتایج کینتیکی بر روی کارایی حذف رنگزای آبی مستقیم ۷۱ در فرآیند UV/H₂O₂ (الف) و US/H₂O₂ (ب) نشان داده شده است.



نمودار ۴: نمودار کینتیکی کارایی حذف رنگزای آبی مستقیم ۷۱ در فرآیند UV/H₂O₂ (الف) و US/H₂O₂ (ب) (غلظت اولیه هیدروژن پروکساید ۲۵ mmol و pH ۷ و ۳)

جدول ۱: ضرایب ثابت کینتیکی کارایی حذف رنگزای آبی مستقیم ۷۱ در فرآیند UV/H₂O₂ و US/H₂O₂

C_0 (mg/l)	UV/H ₂ O ₂				US/H ₂ O ₂			
	pH	K_1	R^2	C_0 (mg/l)	pH	K_1	R^2	
۱۰	۷	۰/۳۷۷	۰/۹۶۳	۱۰	۳	۰/۰۲۶	۰/۹۲۲	
۲۰	۷	۰/۲۸۹	۰/۹۳۲	۲۰	۳	۰/۰۱۱	۰/۸۸۳	
۳۰	۷	۰/۱۶۸	۰/۹۲۹	۳۰	۳	۰/۰۰۸	۰/۸۷۷	
۵۰	۷	۰/۱۱۲	۰/۹۲۶	۵۰	۳	۰/۰۰۶	۰/۸۵۴	
۷۰	۷	۰/۰۸۳	۰/۹۱۸	۷۰	۳	۰/۰۰۴	۰/۸۴۶	

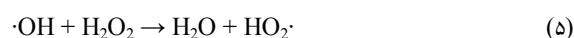
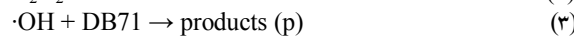
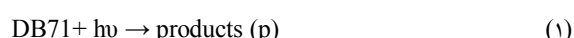
بحث

بطوریکه نتایج حاصله طی مطالعه‌ای که ونیسنا و همکاران بر روی رنگ‌زدایی رنگ راکتیو بلک با استفاده از $\text{H}_2\text{O}_2/\text{US}$ انجام دادند، مطابقت دارد (۱۴). همچنین نتایج حاصله با مطالعه‌ای که اینس و گونن بر روی کارایی حذف رنگ‌های آزو از صنایع نساجی با استفاده از فرآیند $\text{UV}/\text{H}_2\text{O}_2$ انجام دادند، مطابقت دارد (۲). حذف رنگ در سیستم مورد مطالعه با افزایش غلظت اولیه رنگ کاهش یافت. دلیل این امر آن است که با افزایش غلظت اولیه رنگ مولکولهای رنگ بیشتری روی سطح H_2O_2 اکسید می‌شود. مقدار زیاد اکسید شدن رنگ بر روی سطح H_2O_2 از واکنش مولکولهای رنگ با رادیکال هیدروکسیل به علت عدم تماس مستقیم بین آنها جلوگیری می‌کند بنابراین کارایی فرآیند کاهش می‌یابد، همچنین وقتی غلظت اولیه رنگ افزایش می‌یابد طول مسیر فتونهای وارد شده در محلول بر طبق قانون بیر-لامبرت (Beer-Lambert) کاهش می‌یابد (۱۸ و ۱۹ و ۲۰ و ۲۱). به علت اینکه غلظت اولیه رنگ در این مطالعه پایین بود کینیتیک واکنش با معادله شبه درجه یک Hinshelwood-Langmuir توصیف شد. با افزایش غلظت اولیه رنگ، ضریب کینیتیک درجه یک (K_1) و همانطور ضریب همبستگی (R^2) کاهش یافت، بطوریکه نتایج حاصله با نتایج تحقیقی که مالیک و سانیال بر روی کینیتیک تجزیه رنگها از صنایع نساجی انجام دادند مطابقت دارد (۱۲).

نتیجه‌گیری

در این مطالعه کارآیی فرآیندهای فتوشیمیایی و سونوشیمیایی توأم با پراکسید هیدروژن و در حذف رنگزای آبی مستقیم ۷۱ از محیط‌های آبی مورد بررسی قرار گرفت. به طور کلی pH محلول نقش مهمی را در

همانطور که در نمودار ۱ مشاهده می‌شود pH محلول نقش مهمی را در سیستم مورد مطالعه ایفا می‌کند، و با افزایش pH از ۳ به ۱۱ کارایی حذف در فرآیند $\text{UV}/\text{H}_2\text{O}_2$ و $\text{US}/\text{H}_2\text{O}_2$ به ترتیب از ۸۷٪ و ۶۷٪ به ۲۷٪ کاهش یافت. در این مطالعه pH اپتیمم به ترتیب برابر با ۷ و ۳ تعیین گردید. کاهش pH کارایی حذف در هر دو فرآیند با کاهش و افزایش pH به علت تغییر بار در سطح H_2O_2 و کاهش رادیکال هیدروکسیل می‌باشد، در pH برابر با ۷ و ۳ سطح H_2O_2 دارای بار منفی شده که خود باعث پیوند محکم رنگ با یون OH^- شده در نتیجه غلظت رنگ در سطح H_2O_2 کاهش یافته و رادیکال هیدروکسیل افزایش می‌یابد (۱۴). بطوریکه نتایج حاصله با مطالعه‌ای که شو و همکاران بر روی حذف رنگ اسید بلک ۱ با استفاده از $\text{UV}/\text{H}_2\text{O}_2$ انجام دادند، مطابقت دارد (۱۵). همانطور که در نمودار ۲ الف و ب مشاهده می‌شود کارایی حذف رنگزای آبی مستقیم ۷۱ در هر دو سیستم با افزایش مقدار اولیه H_2O_2 افزایش یافت. افزایش کارایی حذف رنگزای آبی مستقیم ۷۱ با افزایش مقدار اولیه H_2O_2 بعلت افزایش رادیکال هیدروکسیل بوده که خود باعث افزایش واکنش اکسیداسیون و در نتیجه تجزیه بیشتر رنگزای آبی مستقیم ۷۱ می‌شود. تولید رادیکال هیدروکسیل در فرآیند $\text{UV}/\text{H}_2\text{O}_2$ بر طبق واکنشهای ۵-۱۷ انجام می‌شود (۱۶ و ۱۷ و ۱۸ و ۱۹ و ۲۰).



مؤثر و سریع جهت حذف رنگ‌ها از محیط‌های آبی پیشنهاد می‌گردد.

تشکر و قدردانی

از مدیریت محترم امور تحقیقات و اطلاع رسانی پژوهشکی دانشگاه علوم پزشکی و خدمات بهداشتی درمانی کردستان به خاطر حمایت مالی از این تحقیق و فراهم نمودن امکانات لازم تشکر نموده و از آقای مهندس محمد امین پردل به خاطر همکاری در انجام تحقیق قدردانی می‌گردد.

سیستم مورد مطالعه ایفا می‌کند و کاهش کارایی حذف در هر دو فرآیند با کاهش و افزایش pH به علت کاهش رادیکال هیدروکسیل می‌باشد. بطور کلی نتایج حاصل از آزمایشات نشان داد که می‌توان از فرآیندهای فتوشیمیایی و سونوشیمیایی توأم با پراکسید هیدروژن بعنوان یک روش مؤثر در حذف رنگ رنگرای آبی مستقیم ۷۱ از محیط‌های آبی استفاده نمود. همچنین در مقایسه با دو فرآیند ذکر شده، استفاده از فرآیند فتوشیمیایی توأم با پراکسید هیدروژن با توجه به کارایی حذف و همچنین قابل دسترس بودن بعنوان یک روش

References

1. Forgacs E, Cserhti T, Oros G. Removal of synthetic dyes from wastewaters: a review. Environment International 2004; 30: 953-71.
2. Ince NH, Gonen DT. Treatability of a Textile Azo Dye by UV/H₂O₂. Environmental Technology . 1997; 18: 179-85.
3. Bali Uatalkaya E, Sengül F. Photodegradation of Reactive Black 5, Direct Red 28 and Direct Yellow 12 using UV, UV/H₂O₂ and UV/H₂O₂/Fe²⁺: a comparative study. Journal of Hazardous Materials 2004; 114: 159-66.
4. Lin SH, Peng CF. Continuous treatment of textile wastewater by combined coagulation, electrochemical oxidation and activated sludge. Water Research 1996; 30: 587-92.
5. Mahvi AH, Maleki A, Rezaee R, Safari M. Reduction of humic substances in water by application of ultrasound waves and ultraviolet irradiation. Iranian Journal of Environmental Health Science & Engineering 2009; 4: 233-240.
6. Shirzad Siboni M, Samadi MT, Rahmani AR , Khataee AR , Bordbar M, Samarghandi MR, Photocatalytic Removal of Hexavalent Chromium and Divalent Nickel from Aqueous Solution by UV Irradiation in the Presence of Titanium Dioxide Nanoparticles. Iran. J. Health & Environ. 2010; 2:261-70 (Persian).
7. Lucas MS, Peres JA. Degradation of Reactive Black 5 by Fenton/UV-C and ferrioxalate/H₂O₂/solar light processes. Dyes and Pigments 2007; 74: 622-9.
8. Poon CS, Huang Q, Fung PC. Degradation kinetics of cuprophenyl yellow RL by UV/H₂O₂/ultrasonication (US) process in aqueous solution. Chemosphere 1999; 38: 1005-14.
9. Shen Y-S, Wang D-K. Development of photoreactor design equation for the treatment of dye wastewater by UV/H₂O₂ process. Journal of Hazardous Materials 2002; 89: 267-77.
10. Maleki A, Mahvi AH, Mesdaghinia A, Naddafi K. Degradation and toxicity reduction of phenol by ultrasound waves. Bulletin of the Chemical Society of Ethiopia 2007; 33: 8-21.
11. Jenkins SH,. Standardized methods of water examination. Water Research. 1998; 41: 531-546.
12. Malik PK, Sanyal SK. Kinetics of decolourisation of azo dyes in wastewater by UV/H₂O₂ process. Separation and Purification Technology 2004; 36: 167-75.
13. Neamtu M, Siminiceanu I, Yediler A, Kettrup A. Kinetics of decolorization and mineralization of reactive azo dyes in aqueous solution by the UV/H₂O₂ oxidation. Dyes and Pigments 2002; 53: 93-9.
14. Voncina DB, Majcen-Le-Marechal A. Reactive dye decolorization using combined ultrasound/H₂O₂. Dyes and Pigments 2003; 59: 173-9.

15. Shu H-Y, Chang M-C, Fan H-J. Decolorization of azo dye acid black 1 by the UV/H₂O₂ process and optimization of operating parameters. *Journal of Hazardous Materials* 2004; 113: 201-8.
16. Maleki A, Mahvi AH, Ebrahimi R, Zandsalimi Y. Study of photochemical and sonochemical processes efficiency for degradation of dyes in aqueous solution. *Korean Journal of Chemical Engineering* 2010: Article in press.
17. Sajen J, Soleymani AR. Degradation and mineralization of direct blue 71 in a circulating upflow reactor by UV/TiO₂ process and employing a new method in kinetic study. *Journal of Hazardous Materials* 2007; 144: 506-12.
18. Lee J-W, Choi S-P, Thiruvenkatachari R, Shim W-G, Moon H. Evaluation of the performance of adsorption and coagulation processes for the maximum removal of reactive dyes. *Dyes and Pigments* 2006; 69: 196-203.

Archive of SID